

**ОПРЕДЕЛЕНИЕ ДИЭЛЕКТРИЧЕСКОЙ ПРОНИЦАЕМОСТИ И ПОТЕРЬ  
В ПОЛУПРОВОДНИКОВОМ СТЕРЖНЕ ИЗ ИЗМЕРЕНИЙ  
КОЭФФИЦИЕНТА ОТРАЖЕНИЯ НА СВЧ**

В. А. Калесинскас, М. Н. Котов, В. К. Шугуров

Для развития твердотельной СВЧ электроники актуальным является изучение частотной зависимости диэлектрической проницаемости полупроводников и диэлектриков, в том числе сегнетоэлектриков, суперионных проводников и др. в широком диапазоне СВЧ. Для анизотропных кристаллов технически наиболее удобным способом определения диэлектрической проницаемости является измерение коэффициента отражения от стержня из исследуемого материала, помещаемого в волноводный тракт [1]\*. При этом необходимо решать задачу, обратную к задаче о рассеянии волны  $H_{10}$  на цилиндрическом стержне с заданными параметрами. До сих пор расчет проводился на основании решения прямой задачи [2], полученного в приближении  $k_0 r \ll 1$  (см., например, [1]). Однако в миллиметровом диапазоне СВЧ условие  $k_0 r \ll 1$  является трудновыполнимым. Кроме того, для повышения точности измерений по методу [1] в случае небольших  $\epsilon$  целесообразно использовать стержни с  $k_0 r \approx 1$ , для которых расчет по формулам [2] невозможен.

В этой работе описана методика измерения комплексной диэлектрической проницаемости при произвольном значении  $k_0 r$ . При решении обратной задачи мы пользовались решением прямой задачи [3], обобщающим результаты [2] на случай произвольного  $k_0 r$ . Выбор решения [3] определялся тем, что по сравнению с другими решениями (например, [4, 5]) оно требует меньшего количества вычислений и что при решении обратной задачи значительная часть вычислений (суммирование рядов (4)) выполняется лишь однажды независимо от числа итераций. В [3], однако, содержится неточность, поэтому мы приведем здесь окончательные формулы. Пользуясь обозначениями, принятыми в [3], поле, рассеянное стержнем, запишем в виде

$$E_S = \sum_{m=-\infty}^{\infty} a_m [ H_m^{(2)}(k_0 r_0^+) \exp(-im\varphi_0^+) + \\ + \sum_{n=-\infty}^{\infty} J_n(k_0 r_0^+) \exp(-in\varphi_0^+) S_{m,n} ]. \quad (1)$$

При этом коэффициенты  $a_m$  определяются из решения системы уравнений

$$\sum_m a_m S_{m,n} + \chi_n a_n = -\sin[(\pi x_0/a) + na] \quad (2)$$

$$(n = 0, \pm 1, \pm 2, \dots),$$

где введены обозначения

$$\chi_n = \frac{k J'_n(kr) H_n(k_0 r) - k_0 J_n(kr) H'_n(k_0 r)}{k J'_n(kr) J_n(k_0 r) - k_0 J_n(kr) J'_n(k_0 r)}; \quad (3)$$

$$S_{m,n} = \sum_{p=1}^{\infty} \{ [1 + (-1)^{m-n}] H_{m-p}^{(2)}(l_p^+) - \\ - H_{m+n}^{(2)}(l_p^-) \} - (-1)^{m+n} \sum_{p=-\infty}^0 H_{m+n}(l_p^-). \quad (4)$$

Величины коэффициентов отражения, пропускания [3] и среднего по сечению стержня квадрата напряженности СВЧ поля вычисляются по формулам

$$R = \sum_m (-1)^m (4a_m/k_1 a) \sin[(\pi x_0/a) + m a]; \quad (5)$$

$$T = 1 + \sum_m (4a_m/k_1 a) \sin[(\pi x_0/a) + m a]; \quad (6)$$

\* Речь идет о кристаллах с природной анизотропией (не гиротропных). По методике, описанной в данном сообщении, измеряется компонента тензора  $\epsilon$ , параллельная вектору электрического поля волны  $H_{10}$ . Вырезая или выращивая стержень  $\epsilon$  в нужном направлении, можно измерить все компоненты тензора  $\epsilon$ .

$$\overline{E^* E} = (2/r) \sum_n \pm b_n^* b_n / [(k^2 - k^{*2})] [kJ_{n+1}(kr) J_n(k^* r) - k^* J_n(kr) J_{n+1}(k^* r)]. \quad (7)$$

При прочих фиксированных параметрах комплексный коэффициент отражения (или передачи) является функцией комплексной диэлектрической проницаемости

$$R = f(\epsilon^*) \quad (8)$$

или

$$\operatorname{Re} R = f_1(\epsilon, \operatorname{tg} \delta), \quad (9)$$

$$\operatorname{Im} R = f_2(\epsilon, \operatorname{tg} \delta)$$

Таким образом, при заданных значениях  $\operatorname{Re} R$  и  $\operatorname{Im} R$  (например, измеренных экспериментально) получается система двух нелинейных уравнений относительно  $\epsilon$  и  $\operatorname{tg} \delta$  (или  $\sigma$ ), которая решается итерационным методом Ньютона [6]. Метод обеспечивает хорошую сходимость и очень удобен для расчета плавных зависимостей  $\epsilon^*$  от  $R$ , так как последняя рассчитанная точка может использоваться в качестве нулевого приближения для следующей точки.

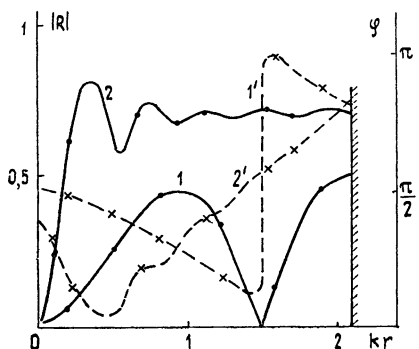


Рис 1 Зависимость модуля коэффициента отражения и его фазы от значения  $k_0 r$  на частоте 18,21 ГГц: 1,1' —  $|R|$  и  $\phi$  для фторопласта; 2,2' —  $|R|$  и  $\phi$  для германия. Отсчет фазы ведется от закорачивающей металлической пластиинки,

На рис 1 представлена зависимость модуля коэффициента отражения и его фазы от значения  $k_0 r$ . Случай  $k_0 r = 2,1$  соответствует полному заполнению поперечного сечения волновода цилиндрическим стержнем. Как видно, результаты расчета коэффициента по формулам (2)–(5) полностью совпадают с экспериментальными данными вплоть до полного заполнения волновода стержнем. Контрольный счет обратной задачи для экспериментальных точек дал значения  $\epsilon$  и  $\operatorname{tg} \delta$ , соответствующие использованным материалам с точностью 1% для фторопласта ( $\epsilon = 2,02$ ;  $\operatorname{tg} \delta = 0,005$ ) и 3% для германия\* ( $\epsilon = 15,8$ ;  $\operatorname{tg} \delta = 0,31$ ). Практически погрешность счета зависит лишь от точности измерения коэффициента отражения и размеров стержня. Эти данные показывают, что определение диэлектрической проницаемости из измерения коэффициента отражения от цилиндрического стержня в прямоугольном волноводе в режиме бегущей волны является удобным и точным методом исследования параметров полупроводников, сегнетоэлектриков, суперионных проводников, сегнетоэластиков и других анизотропных кристаллов в широком диапазоне СВЧ

## ЛИТЕРАТУРА

- Беляцкас Р, Григас И.—Литовский физ. сб., 1979, 19, № 2, с. 243.
- Григас И. П., Шугуров В К—Изв. вузов—Радиофизика, 1969, 12, № 2, с. 307.
- Bharti P.—A. E. U., 1977, 31, № 2, p. 60.
- Мошичий А. В., Березовский В К—Радиотехника и электроника, 1977, 22, № 7, с. 350.
- Nielson C. D.—IEEE Trans., 1969, MTT-17, № 3, p. 148.
- Справочник по математике.—М.: Наука, 1974.—С. 661.

Поступила в редакцию  
30 марта 1981 г.,  
после доработки  
11 августа 1981 г.